К статье Бахтерева В.В. – «Особенности высокотемпературной электропроводности сульфидно-магнетитовых руд Гороблагодатского месторождения»

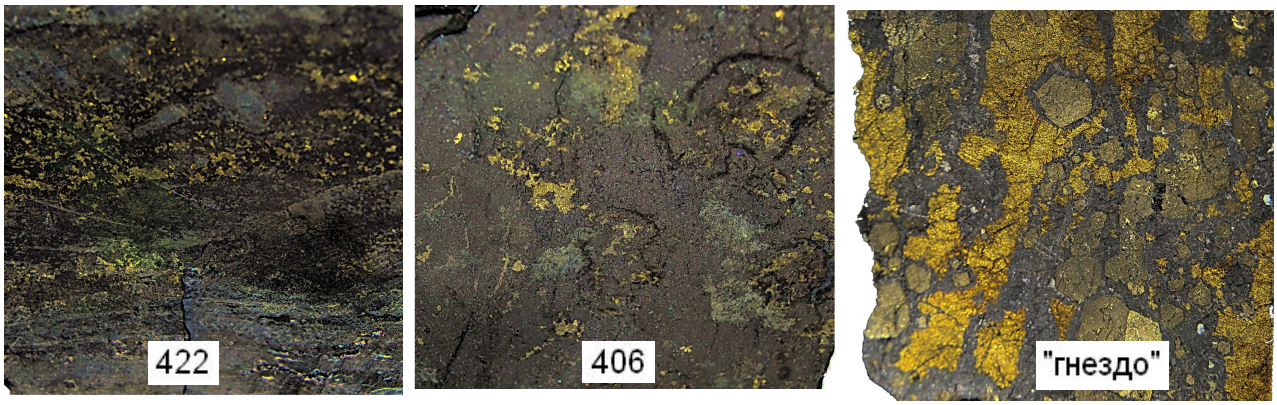

Рис. 4. Фотографии образцов сульфидно-магнетитовой руды (пирит+халькопирит): 406; 422; «гнездо» – образцы с различной вкрапленностью сульфидов

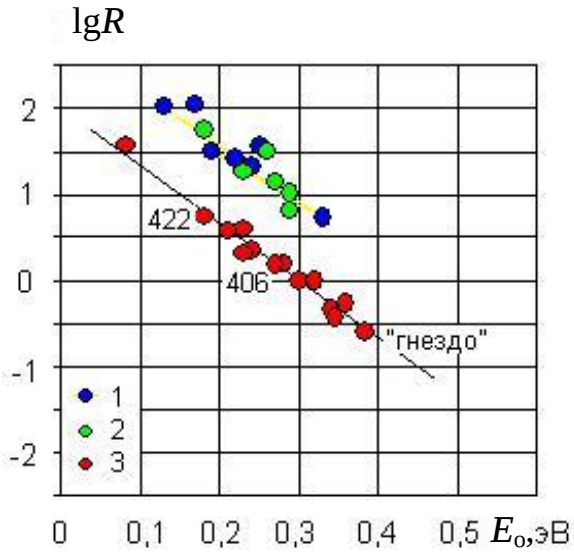

Рис. 5. Связь между E_o, $\lg R_o$ исследованных образцов сульфидно-магнетитовых руд: 1 – гранат-магнетитовая с пирротином (скарновый парагенезис); 2 – эпидот-хлорит-магнетитовая с пирротином (гидросиликатный парагенезис); 3 – пироксен-ортоклаз-магнетитовая пятнистой текстуры, гранат-магнетитовая, эпидот-хлорит-магнетитовая руды, содержащие пирит+халькопирит; прямая линия – прямая корреляции $\lg R_o = a - bE_o$ руд, содержащих пирит+халькопирит; около некоторых точек выписаны номера образцов, фотографии которых приведены на рис. 4

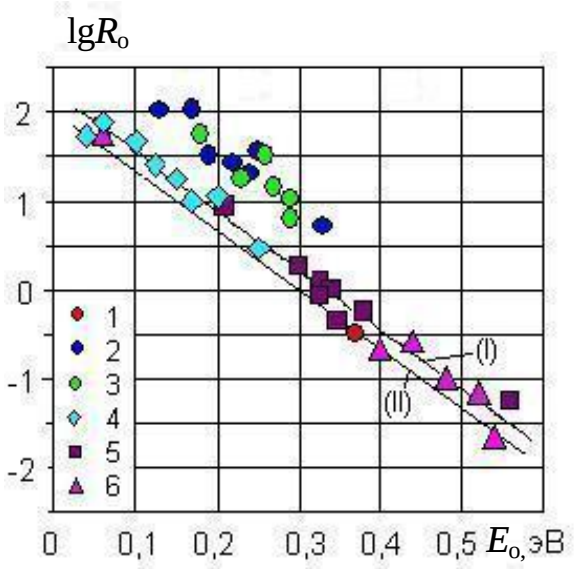

Рис. 6. Связь между E_o, $\lg R_o$ исследованных образцов магнетитовых руд: сульфидсодержащие руды: 1 – магнетитовая с сульфидами (пирит+халькопирит) гнездовой текстуры; 2 – гранат-магнетитовая с пирротином (скарновый парагенезис); 3 – эпидот-хлорит-магнетитовая с пирротином (гидросиликатный парагенезис); бессульфидные руды: 4 – пироксен-ортоклаз-магнетитовая руда пятнистой текстуры; 5 – гранат-магнетитовая; 6 – эпидот-хлорит-магнетитовая; прямые линии – прямые корреляции $\lg R_o = a - bE_o$ бессульфидных руд (I) и руд, содержащих пирит+халькопирит (II)

К статье Цурко И.А. – «О возможной связи между землетрясениями и неравномерностью вращения Земли»

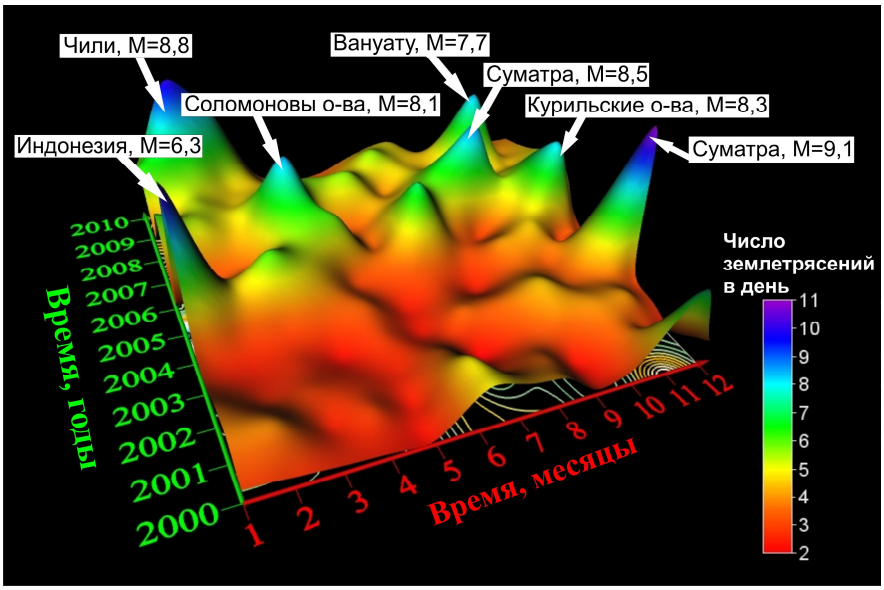

Рис. 1. Среднее число землетрясений в день по месяцам за период с 2000 по 2010 гг.

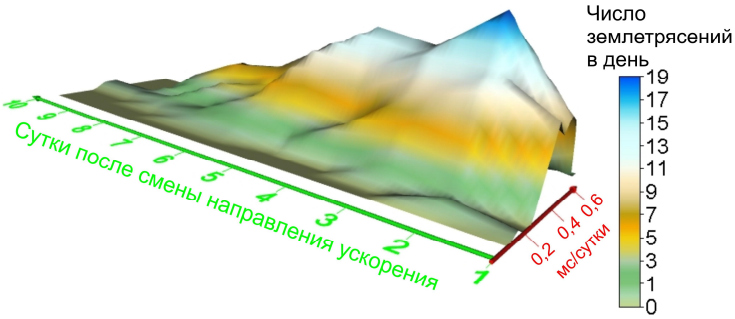

Рис. 3. Трехмерная модель частоты тектонических событий при их триггировании за счет неравномерности вращения Земли

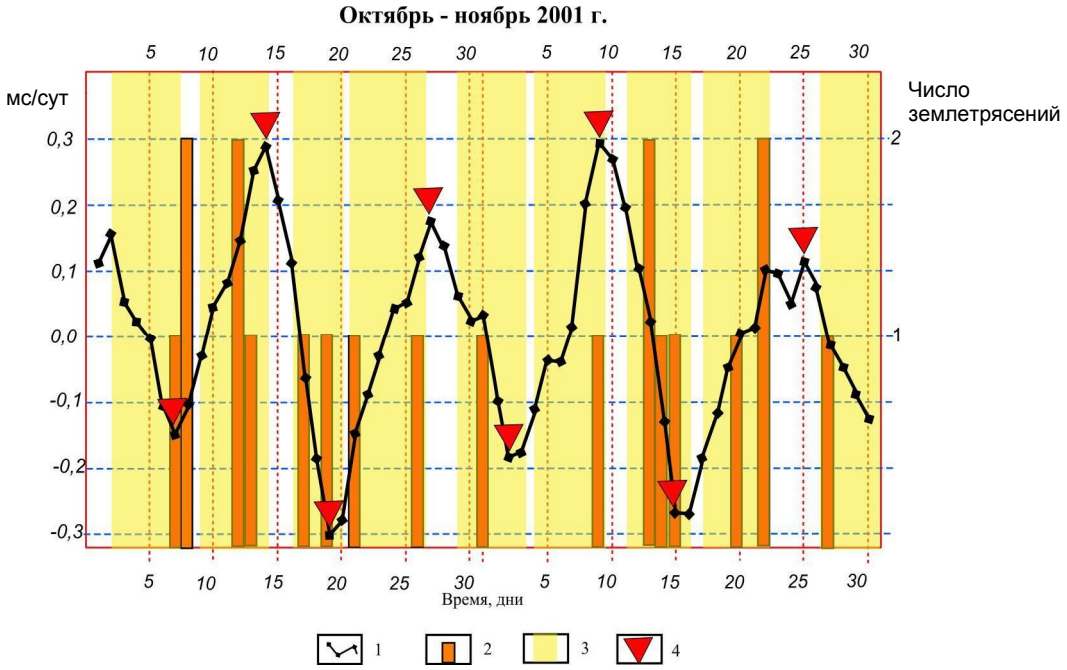

Рис. 4. Сопоставление данных по тектоническим событиям октября – ноября 2001 г. с прогнозными интервалами ожидаемых крупных землетрясений : 1 – график вариации вращения Земли, мс/сут; 2 – число землетрясений с M≥6; 3 – прогнозный интервал, 4 – точки изменения направления ускорения